

E-TEAM SQUADRA CORSE  
Settore  
**POWERTRAIN**



# Contents

<b>1 Differenziale elettronico 2023/24</b>	<b>2</b>
1.1 Relazione tra coppia e corrente del motore . . . . .	2
<b>2 Differenziale elettronico 2024/25</b>	<b>4</b>
2.1 Differenziale con potenziometri . . . . .	4
<b>3 Differenziale con sensori avanzati</b>	<b>6</b>
<b>4 Analisi delle telemetrie</b>	<b>12</b>
4.0.1 Buti 24/11/2024 . . . . .	12
4.0.2 Buti 20/11/2024 . . . . .	13
4.0.3 Dati Competizioni 2023/2024 . . . . .	13

# Chapter 1

# Differenziale elettronico 2023/24

## 1.1 Relazione tra coppia e corrente del motore

Quella che segue è una sintesi delle attività svolte da altri settori negli anni precedenti, con l'aggiunta di alcune considerazioni basate sugli sviluppi più recenti del veicolo. La relazione tra la coppia motrice  $T$  (espressa in Nm) e la corrente  $I$  (in A) erogata al motore elettrico è data dalla formula:

$$T = k \cdot I, x$$

dove  $k$  rappresenta la costante di coppia del motore. Sebbene il valore esatto di  $k$  non sia noto con precisione, a causa di discrepanze tra datasheet e misure sperimentali, è possibile assumere come valore di riferimento iniziale:

$$k = 0.479 \text{Nm/A}.$$

### Differenziale 1: Skidpad

#### Ingressi

- Velocità angolari ruote anteriori:  $\omega_L, \omega_R$
- Corrente massima richiesta  $I_{\max}$  (da posizione pedale)

#### Velocità veicolo stimata

$$v = \frac{\omega_L + \omega_R}{2} \cdot r \cdot 3.6 \quad r := \text{raggio della ruota in metri.} \quad (1.1)$$

#### Legge per la spartizione della corrente

$$\Delta I = k \cdot 3.6 \cdot r \cdot \frac{\omega_L - \omega_R}{v} \quad k \sim \frac{5}{8}. \quad (1.2)$$

#### Corrente inviata ai motori

$$I_L = I_{\max} \cdot \left(1 - \frac{\Delta I}{2}\right), \quad I_R = I_{\max} \cdot \left(1 + \frac{\Delta I}{2}\right). \quad (1.3)$$

**Commento:** L'idea di fondo è corretta e questo schema di ripartizione è lo stesso impiegato nell'attuale versione di differenziale. Tuttavia, a mio avviso, la "legge di spartizione" non risulta sufficientemente accurata poiché non considera eventi di perdita di aderenza o bloccaggio parziale delle ruote anteriori.

Inoltre, la formula presuppone che le ruote anteriori copino perfettamente il terreno, ipotesi spesso non valida a causa di asperità, disconnessioni o variazioni di grip. Quindi, l'idea rimane concettualmente valida ma le condizioni dei tracciati che ci si presentano non la rendono affidabile e tanto meno performante.

### Differenziale 2: EVO

#### Ingressi

- Velocità angolari ruote:  $\omega_L, \omega_R$
- Corrente massima richiesta  $I_{\max}$

## Legge per la spartizione della corrente

$$\Delta I = k_{EVO} \cdot (\omega_R^2 - \omega_L^2) \quad k \sim 0.007. \quad (1.4)$$

Nota: il valore corretto di  $k$  potrebbe essere circa un ordine di grandezza inferiore.

## Saturazione per sicurezza

$$\Delta I \in [-1.5, +1.5]. \quad (1.5)$$

## Corrente inviata ai motori

$$I_L = I_{\max} \cdot \left(1 + \frac{\Delta I}{2}\right) \quad I_R = I_{\max} \cdot \left(1 - \frac{\Delta I}{2}\right). \quad (1.6)$$

**Commento:** Anche in questo caso, l'impostazione teorica e il principio di funzionamento risultano corretti, in linea con le logiche utilizzate nei differenziali elettronici attualmente in fase di sviluppo. Ma sono presenti alcune criticità pratiche. In particolare, la costante di regolazione  $k$  scelta appare eccessivamente elevata. Inoltre, la formula non tiene conto della dinamica dell'aderenza né del trasferimento di carico laterale, fenomeni che incidono sulla capacità di trazione di ciascuna ruota. Infine, la saturazione di sicurezza impostata ( $\pm 1.5$ ) rappresenta un'interessante protezione contro tali effetti, ma si tratta più di una misura correttiva che di una soluzione alla radice del problema.

## Chapter 2

# Differenziale elettronico 2024/25

La progettazione di questo differenziale elettronico, e di conseguenza la sua struttura finale, è fortemente condizionata dalla disponibilità e dall'affidabilità degli input forniti dai sensori installati sul veicolo.

Nella sua configurazione definitiva, il differenziale si basa, oltre che sui dati fisici noti del veicolo, sui segnali provenienti dai quattro potenziometri collegati al sistema sospensivo e sui valori di velocità angolare delle singole ruote. L'idea principale alla base del funzionamento di questo sistema è quella di analizzare quanto risultano caricati o scaricati gli ammortizzatori nei vari momenti della guida, estrarne l'angolo di sterzo e di ripartire la coppia di conseguenza. Inoltre il differenziale svolge altre due attività secondarie ma fondamentali per la stabilità e la trazione del veicolo:

- **SlipControl** : confronta la velocità del veicolo (ottenuta indirettamente come media della velocità delle ruote anteriori) con la velocità delle singole ruote posteriori ed in caso di discrepanze taglia in maniera proporzionale la corrente al motore designato.
- **RearBias** : legge i dati dei 4 ammortizzatori e capisce l'assetto assunto dal veicolo ad ogni istante. Questa funzione limita la coppia massima disponibile a seconda se l'asse posteriore è più o meno caricato.

## 2.1 Differenziale con potenziometri

Il nocciolo teorico del differenziale è la seguente formula, che si occupa di tradurre la forza esercitata dai 4 ammortizzatori nell'angolo di sterzo che il veicolo sta seguendo:

$$\text{steeringAngle} = \frac{l_f \cdot 2 \cdot k_{spring} \cdot \delta_{lat} \cdot \cos(\theta)}{mass \cdot vehicleSpeed^2},$$

dove:

- $l_f$  : passo del veicolo,
- $k_{spring}$  : costante elastica delle molle montate a bordo
- $\delta_{lat}$  : differenza di forza esercitata dalle molle tra lato destro e sinistro
- $mass$  : massa del veicolo,
- $vehicleSpeed$  : velocità del veicolo.

Considerando, ad esempio che il veicolo stia affrontando una curva verso sinistra, lo schema delle forze a cui esso è soggetto può essere rappresentato come segue:

$$F_{centripeta} = \frac{m \cdot v^2}{R} = 2 \cdot k_{spring} \cdot \delta_{lat} \cdot \cos(\theta) = F_{suspensioni}.$$
$$\frac{1}{R} = \frac{2 \cdot k_{spring} \cdot \delta_{lat} \cdot \cos(\theta)}{m \cdot v^2}.$$

Sapendo che  $\text{steeringAngle} = \frac{l_f}{R}$  con  $R$  angolo di sterzo. Otteniamo:

$$\text{steeringAngle} = \frac{l_f \cdot 2 \cdot k_{spring} \cdot \delta_{lat} \cdot \cos(\theta)}{m \cdot v^2}.$$

Questa espressione consente di stimare in modo continuo la traiettoria seguita dal veicolo, fornendo un'informazione fondamentale per la gestione della coppia sui due motori posteriori.

Il codice MATLAB riportato di seguito rappresenta una prima implementazione funzionale del modello proposto. Esso calcola la distribuzione della coppia sui due motori posteriori in base ai segnali dei potenziometri delle sospensioni e alle velocità delle singole ruote.

```

1 function [perc_RL, perc_RR] = DiffBaseV3(sRL, sRR, sFL, sFR, wRL, wRR, wFL, wFR)
2
3 % === Parametri base ===
4 k_spring = 30000;                                % rigidezza molla [N/m]
5 theta = deg2rad(10);                             % inclinazione ammortizzatore
6 mass = 320;                                     % massa veicolo [kg]
7 g = 9.81;                                       % gravit  [m/s^2]
8 lf = 2.5;                                       % Passo totale del veicolo [m]
9 lr = 1.6;                                       % Carreggiata posteriore [m]
10 wheelRadius = 0.225;                            % raggio ruota [m]
11 hCG = 0.3;                                     % altezza baricentro
12
13 % === Conversione rpm      m/s ===
14 wRL = wRL * wheelRadius * 2 * pi / 60;
15 wRR = wRR * wheelRadius * 2 * pi / 60;
16 wFL = wFL * wheelRadius * 2 * pi / 60;
17 wFR = wFR * wheelRadius * 2 * pi / 60;
18
19 % === Velocit  stimata veicolo (da anteriori) ===
20 vehicleSpeed = (wFL + wFR) / 2;
21 vehicleSpeed = max(1, vehicleSpeed);           % minimo per evitare div. per 0
22
23 % === Forze verticali dalle sospensioni ===
24 d_FL = sFL * cos(theta);
25 d_FR = sFR * cos(theta);
26 d_RL = sRL * cos(theta);
27 d_RR = sRR * cos(theta);
28
29 avg_Rear = (d_RR + d_RL)/2;
30 avg_Front = (d_FL + d_FR)/2;
31 delta_long = avg_Rear - avg_Front;            % sbilanciamento asse longitudinale
32 avg_Left = (d_FL + d_RL)/2;
33 avg_Right = (d_FR + d_RR)/2;
34 delta_lat = avg_Left - avg_Right;            % sbilanciamento asse laterale
35
36 rearBias = (delta_long)/(avg_Rear/2 + avg_Front/2);    % distribuzione dinamica del carico
37 steeringAngle = (lf * 2 * k_spring * delta_lat)/(mass * vehicleSpeed^2);
38 % steeringAngle = (lf * delta_d * lr * k_spring) / (mass * vehicleSpeed^2 * hCG);
39 steeringAngle = max(min(steeringAngle, pi), -pi);       % +/-180
40
41 slip_RL = (wRL - vehicleSpeed) / max(vehicleSpeed, 0.1); % perc. slittamento post. Sx
42 slip_RR = (wRR - vehicleSpeed) / max(vehicleSpeed, 0.1); % perc. slittamento post. Dx
43
44 torque_bias_factor = 0.2 + 0.1 * rearBias;
45 mario = min(torque_bias_factor * steeringAngle, 0.5);   % mario
46
47 if delta_lat < 0
48     perc_RL = (1 - mario) * (1 - abs(slip_RL));          % curva a sinistra
49     perc_RR = (1 + mario) * (1 - abs(slip_RR));
50 else
51     perc_RL = (1 + mario) * (1 - abs(slip_RL));          % curva a destra
52     perc_RR = (1 - mario) * (1 - abs(slip_RR));
53 end

```

# Chapter 3

## Differenziale con sensori avanzati

Supponendo di avere a disposizione una gamma più ampia di input, è possibile implementare una versione avanzata del differenziale elettronico capace di reagire in modo più preciso e dinamico alle condizioni reali di guida. Il modello che segue introduce sensori aggiuntivi, come la IMU, sensori di frenata, angolo di sterzo, e i classici sensori di velocità ruota. Questa configurazione permette di stimare con maggiore accuratezza la distribuzione di coppia.

```
1 function [torqueLeft, torqueRight] = controlTorqueDistributionNessy3(...  
2     wheelSpeedLeft, wheelSpeedRight, wheelSpeedLeftFront, wheelSpeedRightFront, ...  
3     steeringAngle, accelerometerXYZ, brakeForce)  
4  
5 %% 1. Parametri veicolo e costanti  
6 maxTorque = 300; % Coppia massima in Nm  
7 vp.t2 = 1.6; % Carreggiata posteriore in metri  
8 vp.l = 2.5; % Passo totale del veicolo in metri  
9 tireFriction = 1.0; % Coefficiente di attrito del pneumatico  
10 wheelRadius = 0.225; % Raggio della ruota in metri  
11 massVehicle = 320; % Massa del veicolo in kg  
12 rearBias = 0.2; % Sbilanciamento virtuale verso il retrotreno  
13  
14 %% 2. Conversione velocit ruote in m/s  
15 wheelSpeedLeft = rpmToSpeed(wheelSpeedLeft, wheelRadius);  
16 wheelSpeedRight = rpmToSpeed(wheelSpeedRight, wheelRadius);  
17 wheelSpeedLeftFront = rpmToSpeed(wheelSpeedLeftFront, wheelRadius);  
18 wheelSpeedRightFront = rpmToSpeed(wheelSpeedRightFront, wheelRadius);  
19  
20 %% 3. Calcolo velocit veicolo (pesata sul posteriore)  
21 frontWeight = 1 - rearBias;  
22 vehicleSpeed = frontWeight * (wheelSpeedLeftFront + wheelSpeedRightFront) / 2;  
23  
24 %% 4. Calcolo dello slip relativo (approssimato linearmente)  
25 tireSlipLeft = computeSlip(wheelSpeedLeft, vehicleSpeed);  
26 tireSlipRight = computeSlip(wheelSpeedRight, vehicleSpeed);  
27  
28 %% 5. Calcolo del raggio di curvatura  
29 radiusOfCurvature = computeCurvature(steeringAngle, vp.l);  
30  
31 %% 6. Calcolo della forza di trazione disponibile  
32 forceTraction = maxTorque / wheelRadius; % Forza = coppia / raggio  
33 brakeForce = abs(brakeForce);  
34  
35 %% 7. Fattori di aderenza longitudinale e laterale  
36 lateralFactor = computeLateralFactor(vehicleSpeed, radiusOfCurvature, tireFriction,  
    massVehicle);  
37 longitudinalFactor = computeLongitudinalFactor(accelerometerXYZ(2), brakeForce,  
    massVehicle, tireFriction, forceTraction);  
38  
39 %% 8. Trasferimento di carico in curva  
40 accelLong = (forceTraction - brakeForce) / massVehicle;  
41 loadTransfer = computeLoadTransfer(vehicleSpeed, radiusOfCurvature, massVehicle, 0.3,  
    vp.t2, accelLong);  
42  
43 %% 9. Coppia massima regolata
```

```

44 adjustedTorque = maxTorque * lateralFactor * longitudinalFactor;
45
46 %% 10. Distribuzione della coppia in curva
47 if steeringAngle > 0 % Curva sinistra
48     torqueLeft = adjustedTorque * (1 - loadTransfer);
49     torqueRight = adjustedTorque * (1 + loadTransfer);
50 elseif steeringAngle < 0 % Curva destra
51     torqueLeft = adjustedTorque * (1 + loadTransfer);
52     torqueRight = adjustedTorque * (1 - loadTransfer);
53 else % Rettilineo
54     torqueLeft = adjustedTorque / 2;
55     torqueRight = adjustedTorque / 2;
56 end
57
58 %% 11. Limitazione della coppia
59 % torqueLeft = max(0, min(torqueLeft, maxTorque));
60 % torqueRight = max(0, min(torqueRight, maxTorque));
61
62 %% 12. Correzione della coppia in base allo slip
63 torqueLeft = torqueLeft * (1 - tireSlipLeft);
64 torqueRight = torqueRight * (1 - tireSlipRight);
65 end
66
67 %% Funzioni di supporto
68
69 function speed = rpmToSpeed(rpm, wheelRadius)
70     speed = rpm * 2 * pi * wheelRadius / 60;
71 end
72
73 function slip = computeSlip(wheelSpeed, vehicleSpeed)
74     slip = abs(wheelSpeed - vehicleSpeed) / max(vehicleSpeed, 1);
75     slip = min(max(slip, 0), 1); % Limite tra 0 e 1
76 end
77
78 function radius = computeCurvature(steeringAngle, wheelbase)
79     if abs(steeringAngle) > 1e-2
80         curvature = tan(steeringAngle) / wheelbase;
81         radius = 1 / curvature;
82     else
83         radius = 1000000000;
84     end
85 end
86
87 function lateralFactor = computeLateralFactor(vehicleSpeed, radiusOfCurvature,
88     tireFriction, massVehicle)
89     if isnan(radiusOfCurvature)
90         Fc = massVehicle * vehicleSpeed^2 / radiusOfCurvature;
91         maxLateralForce = tireFriction * massVehicle * 9.81;
92         lateralFactor = min(Fc / maxLateralForce, 1);
93     else
94         lateralFactor = 0;
95     end
96 end
97
98 function longitudinalFactor = computeLongitudinalFactor(accelY, brakeForce,
99     massVehicle, tireFriction, forceTraction)
100    accelBrake = brakeForce / massVehicle;
101    accelLat = abs(accelY);
102    maxAccel = tireFriction * 9.81;
103    if (accelLat + accelBrake) >= maxAccel
104        longitudinalFactor = 0;
105    else
106        longitudinalFactor = forceTraction / (massVehicle * (maxAccel - accelLat -
107            accelBrake));
108        longitudinalFactor = min(max(longitudinalFactor, 0), 1);
109    end

```

```

107 end

108

109 function loadTransfer = computeLoadTransfer(vehicleSpeed, radiusOfCurvature,
110 massVehicle, cgHeight, vp_t2, accelLong)
111 if isnan(radiusOfCurvature)
112     loadTransferLat = (massVehicle * vehicleSpeed^2 * cgHeight) / (
113         radiusOfCurvature * vp_t2 * 9.81);
114     loadTransferLong = (massVehicle * accelLong * cgHeight) / vp_t2;
115     loadTransfer = loadTransferLat + loadTransferLong;
116 else
117     loadTransfer = (massVehicle * accelLong * cgHeight) / vp_t2;
118 end
119

```

Listing 3.1: Distribuzione della coppia con aderenza e curvatura

Questo differenziale non è mai stato montato nella macchina per mancanza dei sensori richiesti. Ho quindi fatto uno script che emula degli input verosimili per vedere come si sarebbe comportato il differenziale.

```

1 %% Carica il tracciato
2 track_file = 'Hockenheim.mat';
3 track_data = load(track_file);
4 track_fields = fieldnames(track_data);
5 track_points = track_data.(track_fields{1});
6 x_interp = track_points(:, 1);
7 y_interp = track_points(:, 2);
8
9 %% Parametri veicolo
10 maxTorque = 600;
11 vp.t2 = 1.6;
12 vp.l = 2.5;
13 tireFriction = 1.0;
14 wheelRadius = 0.225;
15 massVehicle = 320;
16 slip_ratio = 0.05;
17 dt = 0.01;
18 mu = 1.0;
19 g = 9.81;
20 v_max = 30;
21 tau = 0.5;
22
23 num_points = length(x_interp);
24
25 %% Inizializzazione variabili
26 vehicleSpeed = zeros(1, num_points);
27 torqueLeft = zeros(1, num_points);
28
29 torqueRight = zeros(1, num_points);
30 wheelSpeedLeft = zeros(1, num_points);
31 wheelSpeedRight = zeros(1, num_points);
32 wheelSpeedLeftFront = zeros(1, num_points);
33 wheelSpeedRightFront = zeros(1, num_points);
34 brakeForce = zeros(1, num_points);
35 accelerometerXYZ = zeros(num_points, 3);
36 steeringAngles = zeros(1, num_points);
37 curvature = zeros(1, num_points);
38 radiusCurvature = zeros(1, num_points);
39
40 %% Simulazione del tracciato
41 for i = 2:num_points-1
42     dx = x_interp(i) - x_interp(i-1);
43     dy = y_interp(i) - y_interp(i-1);
44     ddx = x_interp(i+1) - 2*x_interp(i) + x_interp(i-1);
45     ddy = y_interp(i+1) - 2*y_interp(i) + y_interp(i-1);
46
47     denom = max((dx^2 + dy^2)^(3/2), 1e-6); % Evita divisioni per zero

```

```

48     if abs(denom) < 1e-6
49         curvatura(i) = 0; % Curvatura nulla se il denominatore    troppo piccolo
50     else
51         curvatura(i) = 2 * (dx * ddy - dy * ddx) / denom;
52     end
53
54     radiusCurvature(i) = max(1e-3, 1 / max(abs(curvatura(i)), 1e-6)); % Limita il
55     raggio di curvatura
56
56     steeringAngles(i) = atan(vp.l / (radiusCurvature(i) + 0.5 * vp.t2 * tan(
57         steeringAngles(i)))); % Angolo di sterzata
58     steeringAngles(i) = steeringAngles(i) * sign(curvatura(i));
59
60     % steeringAngles(i) = atan(vp.l / radiusCurvature(i)) * sign(curvatura(i));
61
62     % Calcolo della velocit massima consentita dalla curvatura
63     V_lim = min(v_max, sqrt(mu * g * radiusCurvature(i))); % Velocit massima
64     consentita
64     V_lim = min(V_lim, sqrt(maxTorque / (massVehicle * wheelRadius))); % Limite
65     basato sulla potenza del motore
65     vehicleSpeed(i) = vehicleSpeed(i-1) + (V_lim - vehicleSpeed(i-1)) * (1 - exp(-dt/
66     tau)); % Velocit del veicolo
67
68     % Calcolo della forza frenante
69     brakeForce(i) = abs(sin(steeringAngles(i))); % Forza frenante
70
71     % Calcolo della velocit angolare del veicolo
72     omega_vehicle = vehicleSpeed(i) / radiusCurvature(i);
73
74     % Velocit delle ruote posteriori
75     wheelSpeedLeft(i) = (vehicleSpeed(i) - 0.5 * omega_vehicle * vp.t2) / (2 * pi *
76         wheelRadius) * 60;
76     wheelSpeedRight(i) = (vehicleSpeed(i) + 0.5 * omega_vehicle * vp.t2) / (2 * pi *
77         wheelRadius) * 60;
78
78     % Velocit delle ruote anteriori (considerando lo slip)
79     wheelSpeedLeftFront(i) = wheelSpeedLeft(i) * (1 - slip_ratio);
80     wheelSpeedRightFront(i) = wheelSpeedRight(i) * (1 - slip_ratio);
81
82     % Calcolo dell'accelerazione longitudinale e laterale
83     accelLong = (vehicleSpeed(i) - vehicleSpeed(i-1)) / dt; % Accelerazione
84     longitudinale
84     accelLong = max(min(accelLong, mu * g), -mu * g); % Limita l'accelerazione
85     longitudinale
86
86     accelLat = min((vehicleSpeed(i)^2 / radiusCurvature(i)) * sign(steeringAngles(i))
87         , mu * g); % Accelerazione laterale
87     accelLat = max(min(accelLat, mu * g), -mu * g); % Limita l'accelerazione laterale
88
89     accelerometerXYZ(i, :) = [accelLong, accelLat, 0]; % Accelerometro
90 end
91
92 %% Calcolo distribuzione coppia
93 for i = 1:num_points
94     [torqueLeft(i), torqueRight(i)] = controlTorqueDistributionNessy3(...
95         wheelSpeedLeft(i), wheelSpeedRight(i), wheelSpeedLeftFront(i),
96         wheelSpeedRightFront(i), ...
97         steeringAngles(i), accelerometerXYZ(i, :), brakeForce(i));
98
99     % Controllo per evitare coppie nulle o non valide
100    if torqueLeft(i) == 0 || torqueRight(i) == 0
101        fprintf('Zero torque at i=%d: Curv=%f, Steer=%f, SpeedL=%f, SpeedR=%f\n', ...
101            i, curvature(i), steeringAngles(i), wheelSpeedLeft(i),
101            wheelSpeedRight(i));

```

```

102     end
103 end
104
105 %% Visualizzazione
106 figure('Name', 'Analisi del veicolo', 'NumberTitle', 'off', 'Position', [100 100 1200
107     800]);
108 subplot(3, 2, 1);
109 plot(steeringAngles, 'g-', 'LineWidth', 2);
110 title('Angolo di sterzata'); xlabel('Punti'); ylabel('[rad]'); grid on;
111
112 subplot(3, 2, 2);
113 plot(wheelSpeedLeft, 'm-', 'LineWidth', 2); hold on;
114 plot(wheelSpeedRight, 'c-', 'LineWidth', 2);
115 title('Velocit delle ruote'); xlabel('Punti'); ylabel('rpm');
116 legend('Ruota sinistra', 'Ruota destra'); grid on;
117
118 subplot(3, 2, 3);
119 plot(accelerometerXYZ(:, 2), 'k--', 'LineWidth', 2);
120 title('Accelerazione laterale'); xlabel('Punti'); ylabel('m/s^2'); grid on;
121
122 subplot(3, 2, 4);
123 plot(brakeForce, 'r-', 'LineWidth', 2);
124 title('Forza frenante'); xlabel('Punti'); ylabel('N'); grid on;
125
126 subplot(3, 2, [5, 6]);
127 plot(torqueLeft, 'r-', 'LineWidth', 2); hold on;
128 plot(torqueRight, 'g-', 'LineWidth', 2);
129 title('Distribuzione della coppia'); xlabel('Punti'); ylabel('Nm');
130 legend('Coppia sinistra', 'Coppia destra'); grid on;
131
132 figure;
133 plot(x_interp, y_interp, 'k-', 'LineWidth', 2); hold on;
134 scatter(x_interp, y_interp, 20, steeringAngles, 'filled');
135 colorbar; title('Percorso con angoli di sterzata');
136 axis equal;

```

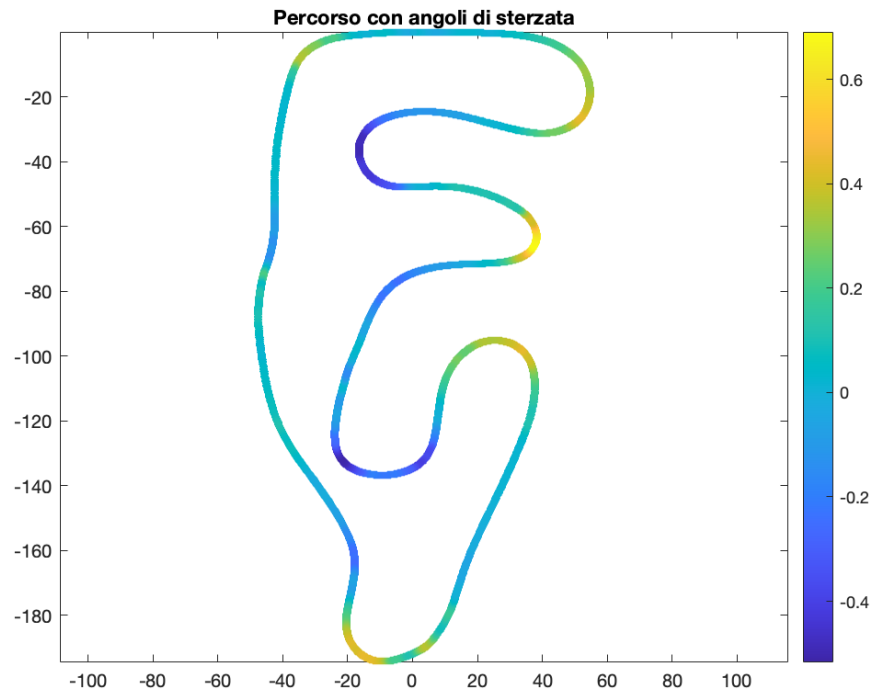
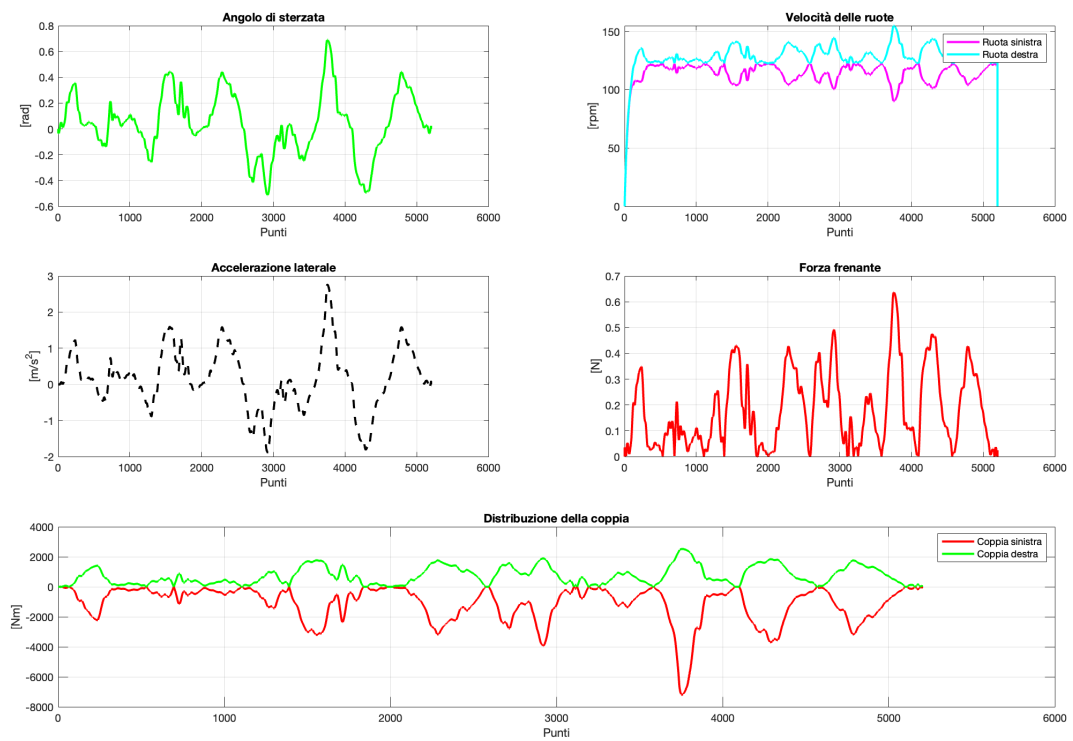


Figure 3.1: Tracciato di Hockenheim, scalato cromaticamente rispetto agli angoli di curvatura tenuti nel test



# Chapter 4

## Analisi delle telemetrie

In questa sezione saranno analizzati i dati provenienti dalle telemetrie raccolte in diverse sessioni di test e di gara, con l'obiettivo di valutare il comportamento termico dei motori in differenti condizioni operative.

Considerazioni iniziali:

- In condizioni ideali, l'andamento della temperatura del motore nel tempo dovrebbe seguire una curva di tipo esponenziale crescente, descritta dall'equazione:

$$\gamma(t) = ke^{\frac{t}{T}}, \quad k = \text{temperatura di regime alla quale il motore si dovrebbe stabilizzare}.$$

Questo profilo però, viene assunto in un quantitativo di tempo molto maggiore di quello impiegato nei test.

- Di conseguenza, l'unica parte effettivamente visibile e analizzabile durante le prove è la fase iniziale di riscaldamento, che può essere approssimata in modo lineare. Linearizzando la curva di temperatura nel tempo, è possibile associare a ogni test una retta di crescita termica, confrontando le diverse pendenze ottenute.
- In questo modo dovremmo creare 2 gruppi ben distinti, uno per il raffreddamento acceso (Cooling: ON) con rette a pendenza minore e uno a raffreddamento spento (Cooling: OFF) con rette più ripide.

### 4.0.1 Buti 24/11/2024

I test sono stati svolti nel parcheggio del "PENNY" di Cascine di Buti in data 24/11/2024. La temperatura media esterna era  $T_{amb} \sim 9^\circ\text{C}$ .

L'obiettivo della giornata era studiare il riscaldamento dei motori con raffreddamento acceso e spento, per valutare l'effettiva necessità del sistema di cooling in fase di utilizzo continuativo. A causa di problemi tecnici, l'auto non ha potuto marciare per un tempo sufficiente con il raffreddamento disattivato, limitando parzialmente l'efficacia del test.

In questo test abbiamo preso come riferimento il motore destro (il sinistro rimane costantemente circa 2/3 gradi sotto) riportando:

- $T_{max} \sim 39.9^\circ\text{C}$
- $\Delta T_{alminuto,Cooling:ON} = 2,24^\circ\text{C}/\text{min}$
- $\Delta T_{alminuto,Cooling:OFF} = 4.65^\circ\text{C}/\text{min}$
- $m_{Motortr, Cooling:ON} \sim 0,051$
- $m_{Motortr, Cooling:OFF} \sim 0,068$

Possiamo quindi concludere che il riscaldamento del motore avviene più veloce del 33% a raffreddamento spento rispetto che a raffreddamento acceso.

## 4.0.2 Buti 20/11/2024

I test sono stati svolti nel parcheggio del "PENNY" di Cascine di Buti in data 20/11/2024. La temperatura media esterna era  $T_{amb} \sim 11^\circ\text{C}$ .

In questa giornata di test l'obiettivo è stato quello di studiare il comportamento della macchina andando a cambiare diverse mappe motore.

In alcuni casi il raffreddamento è stato spento e possiamo riportare le seguenti considerazioni:

In questo test abbiamo preso come riferimento il motore destro (il sinistro rimane costantemente circa 2/3 gradi sotto) che ha riportato:

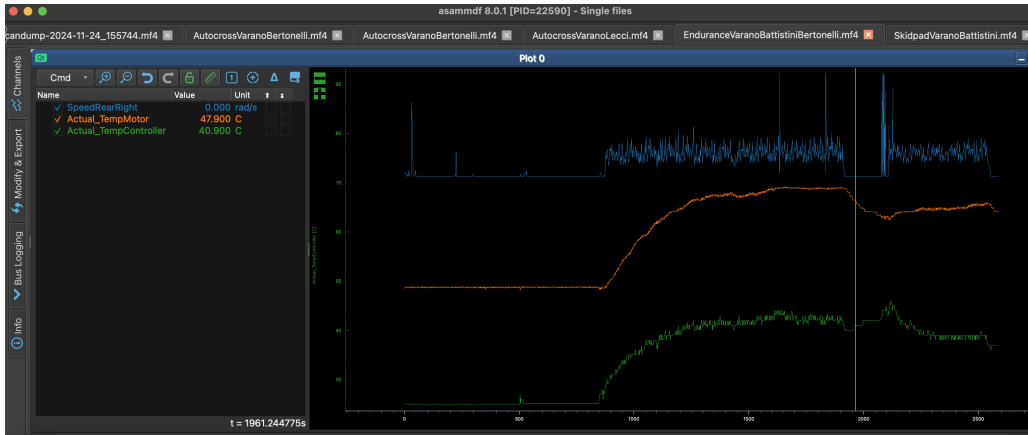
- $T_{max} \sim 44.6^\circ\text{C}$
- $\Delta T_{media, Cooling:ON} = 3.01^\circ\text{C}/\text{min}$
- $\Delta T_{media, Cooling:OFF} = 4.01^\circ\text{C}/\text{min}$
- $m_{Motortr, Cooling:ON} \sim 0.037$
- $m_{Motortr, Cooling:OFF} \sim 0.077$

Possiamo quindi concludere che il riscaldamento del motore avviene il doppio più veloce a raffreddamento spento rispetto che a raffreddamento acceso.

## 4.0.3 Dati Competizioni 2023/2024

I test/gare sono stati svolte in condizioni esterne variabili nell'arco dei mesi di Luglio, Agosto e Settembre, quindi possiamo assumere che la temperatura esterna media si attesta a circa  $30^\circ\text{C}$ .

L'analisi dei dati ha evidenziato che la miglior prestazione termica è stata registrata durante la prova Endurance di Varano, con alla guida il pilota Lecci. In questa occasione, il veicolo ha mantenuto un funzionamento stabile per circa 1025s, raggiungendo una temperatura di regime di circa  $51^\circ\text{C}$ .



Il comportamento del motore durante la prova può essere descritto dalla seguente equazione di crescita termica:

$$T(t) = T_{amb} + (T_{max} - T_{amb})e^{\frac{k}{t}},$$

con  $k$  coefficiente di "dispersione" termica, che rappresenta la rapidità con cui i motori tendono verso la temperatura di regime.

Nel test di Varano, con temperatura ambiente  $T_{amb} = 30^\circ\text{C}$  e temperatura di regime  $T_{regime} = 51^\circ\text{C}$  si ottiene un  $\Delta T$  di  $20^\circ\text{C}$ .

Traslando lo stesso comportamento alle condizioni di Buti (temperatura ambiente di circa  $10^\circ\text{C}$ ), si otterrebbe:

$$T_{regime, Buti} = 20^\circ\text{C} + 10^\circ\text{C}$$

consideriamo quindi il caso di Cooling:OFF e ipotizzando un incremento di  $\Delta T$  del 75% e utilizzando

$$T_{regime} = T_{amb} + \Delta T_{Cooling:OFF}$$

la temperatura di regime passerebbe da 51°C a

$$T_{regime,CoolingOFF} = 30^\circ\text{C} + 20^\circ\text{C} \cdot (1 + 0.75) = 65^\circ\text{C}$$

Questo significa che, senza raffreddamento, la temperatura di regime stimata si innalzerebbe di circa 14°C rispetto alla configurazione standard.

Un altro dato utile che possiamo estrarre dalle telemetrie delle gare è la temperatura massima  $T_{max} = 54.9^\circ\text{C}$ . Ottenuta a Buti dal pilota Battistini.